

Manejo del cultivo de maíz 2017-2018

Estructura – Densidad – Fecha de siembra

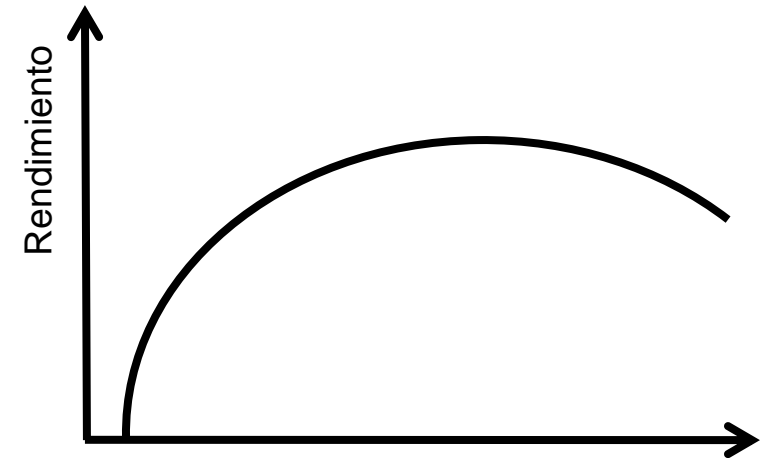
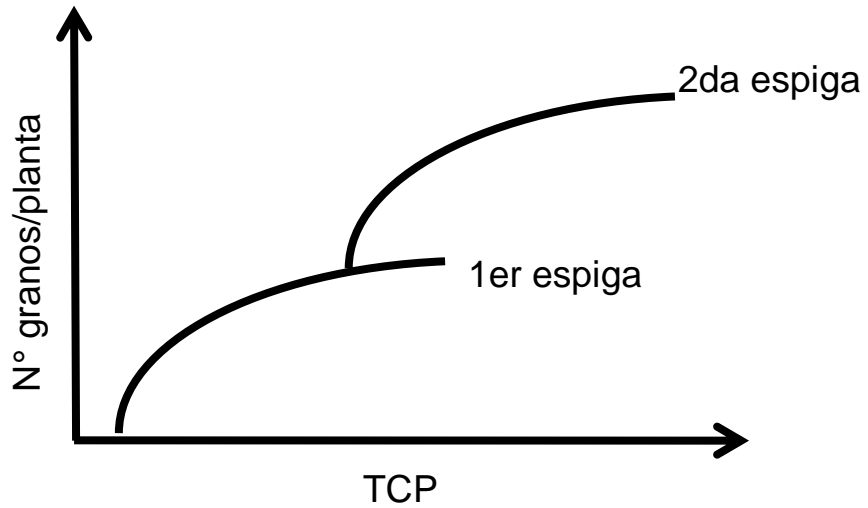
GEASO

GRUPO DE EXPERIMENTACIÓN
AGROPECUARIA DEL S.O.

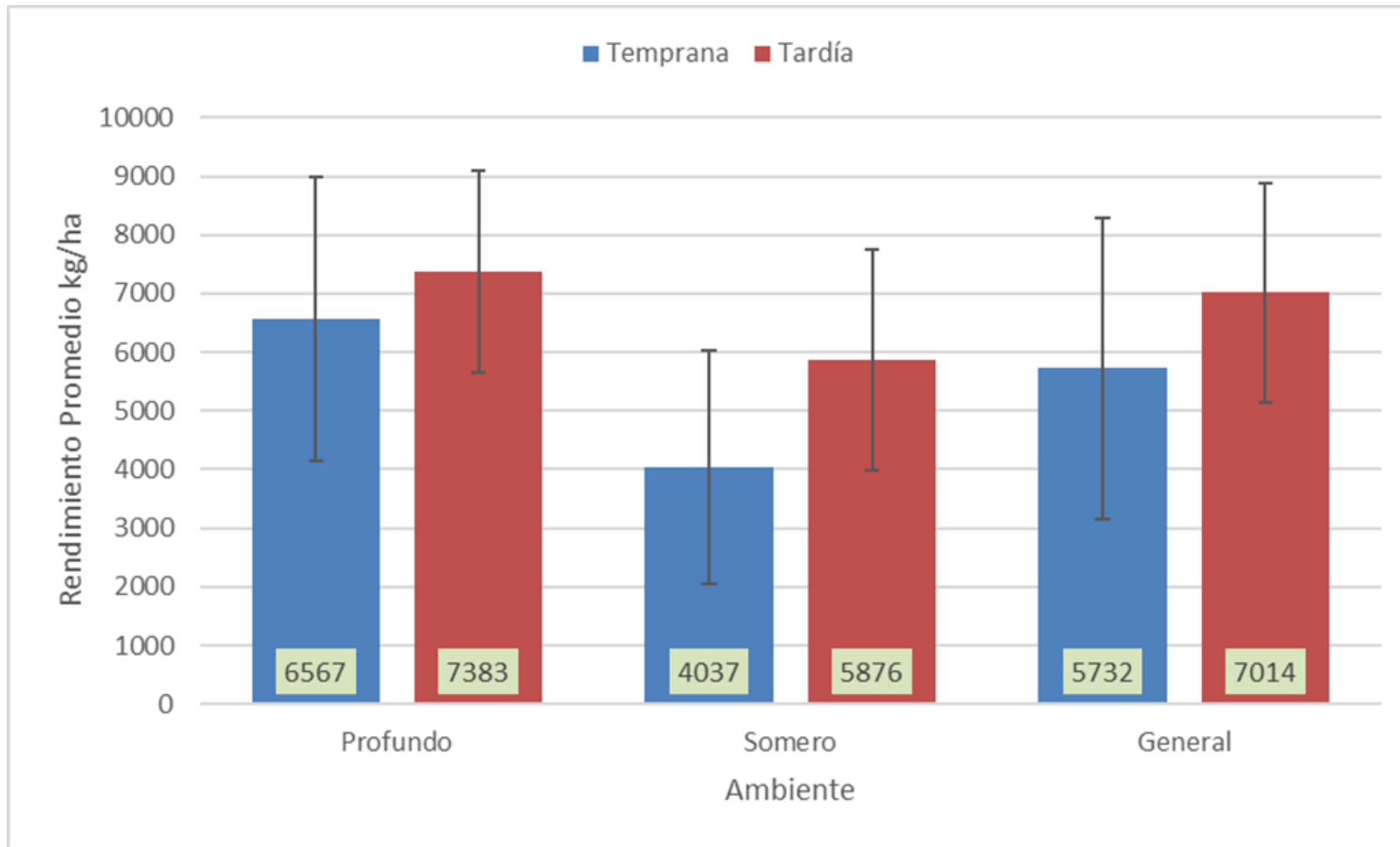


**REGIÓN
SUDOESTE**

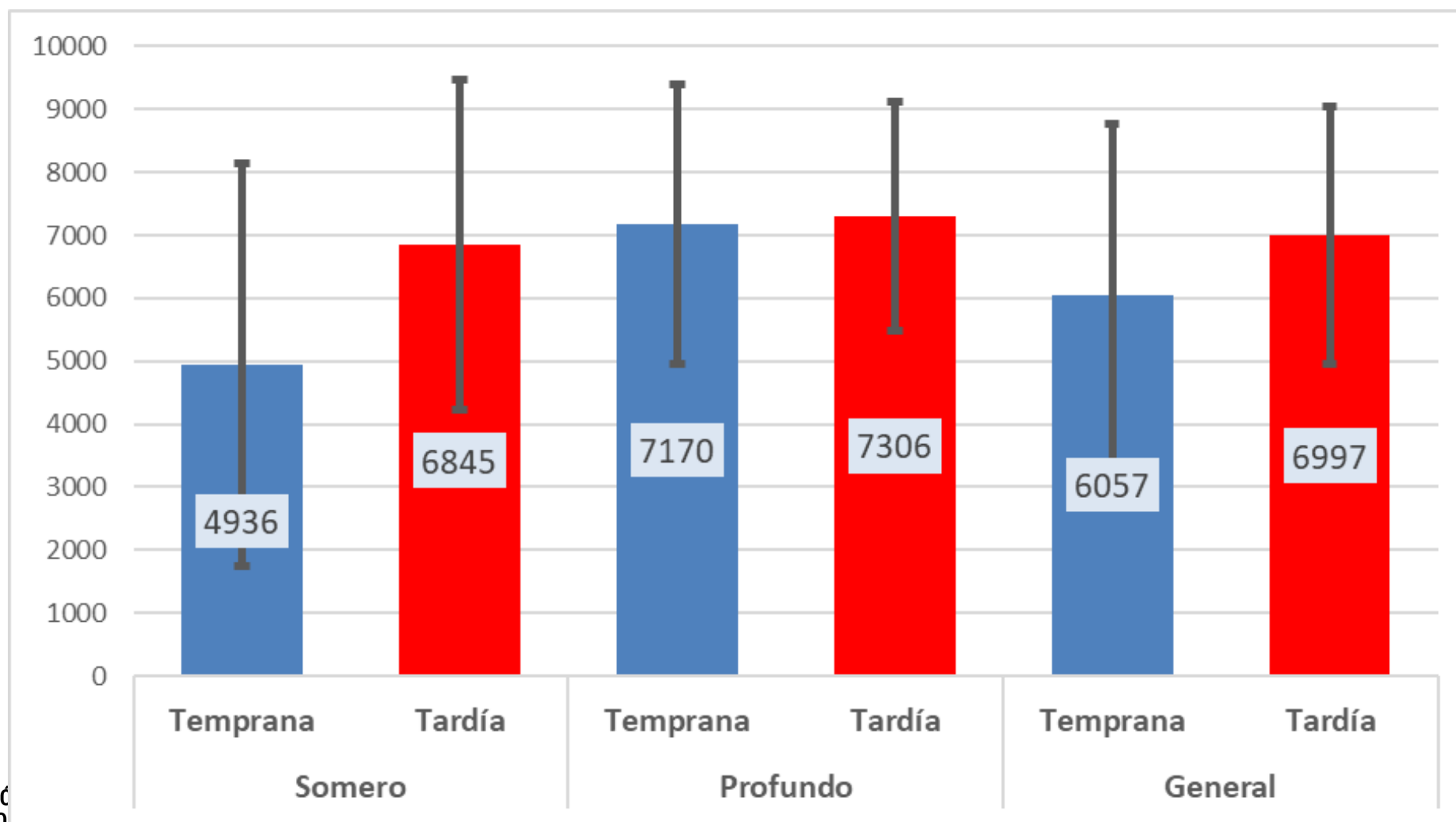
Tasa de crecimiento por planta



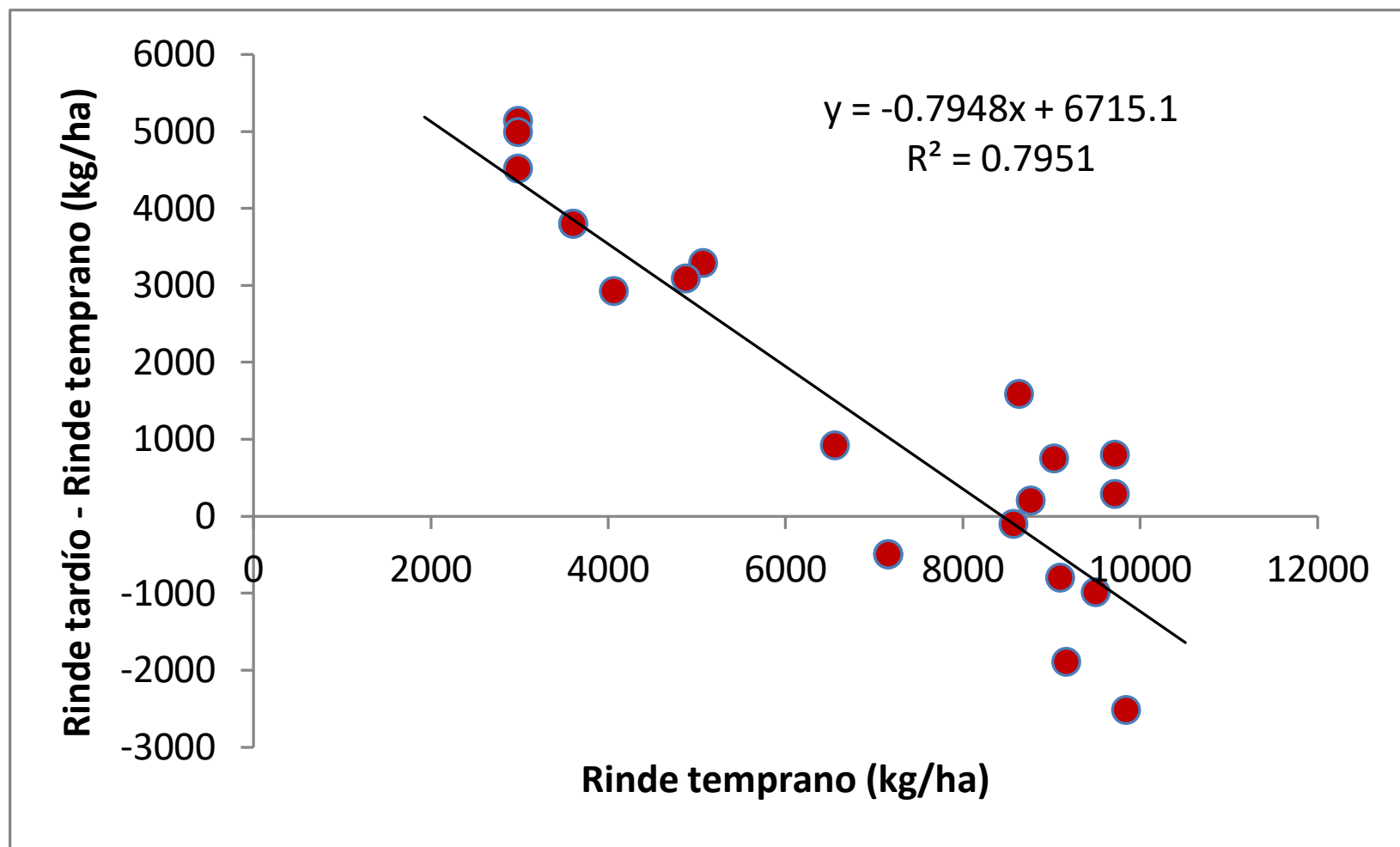
9 años temprana vs tardía



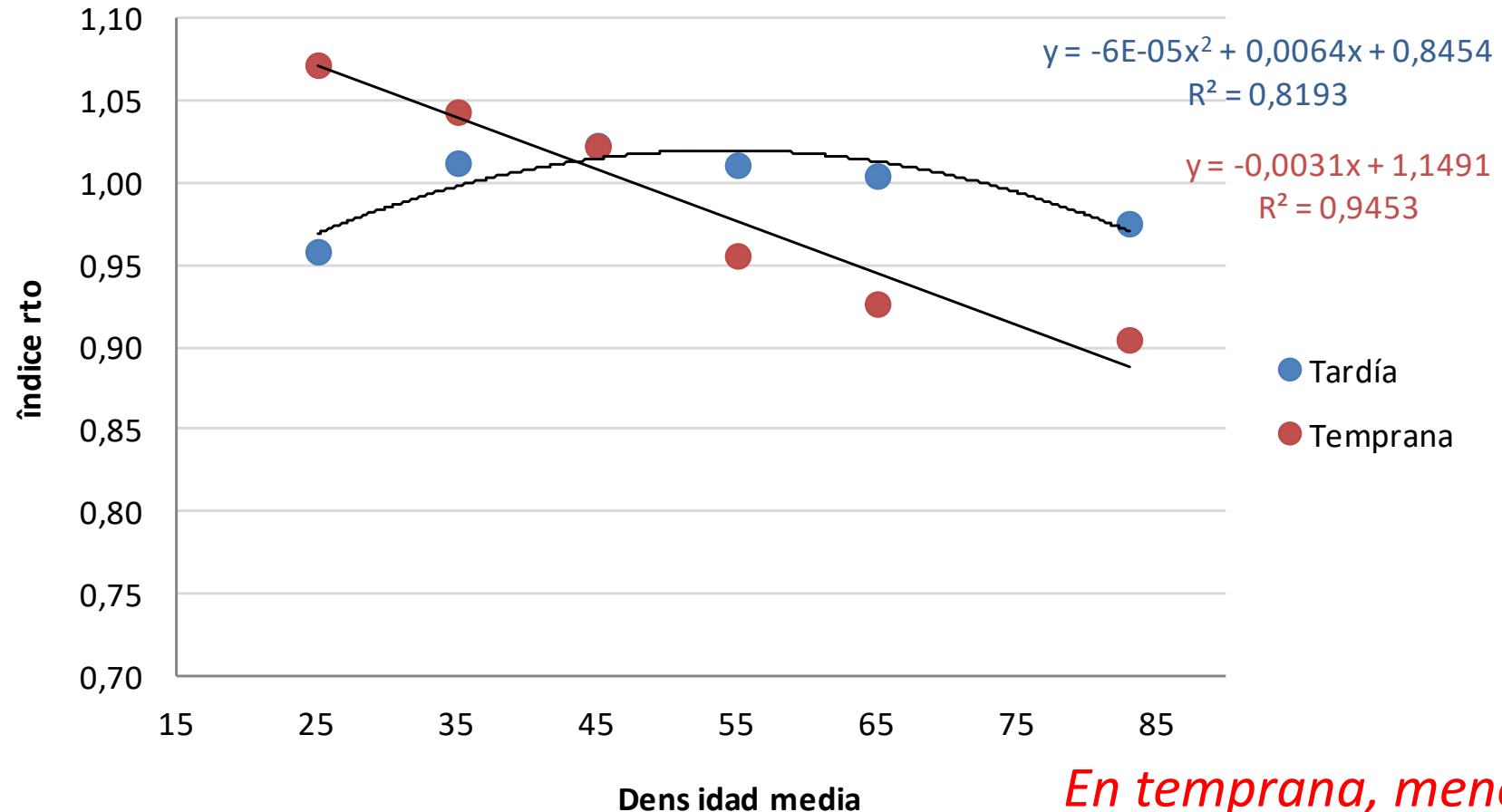
Fecha de siembra, rinde promedio y desvíos



Hasta 90 qq/ha hay ventajas de los tardíos

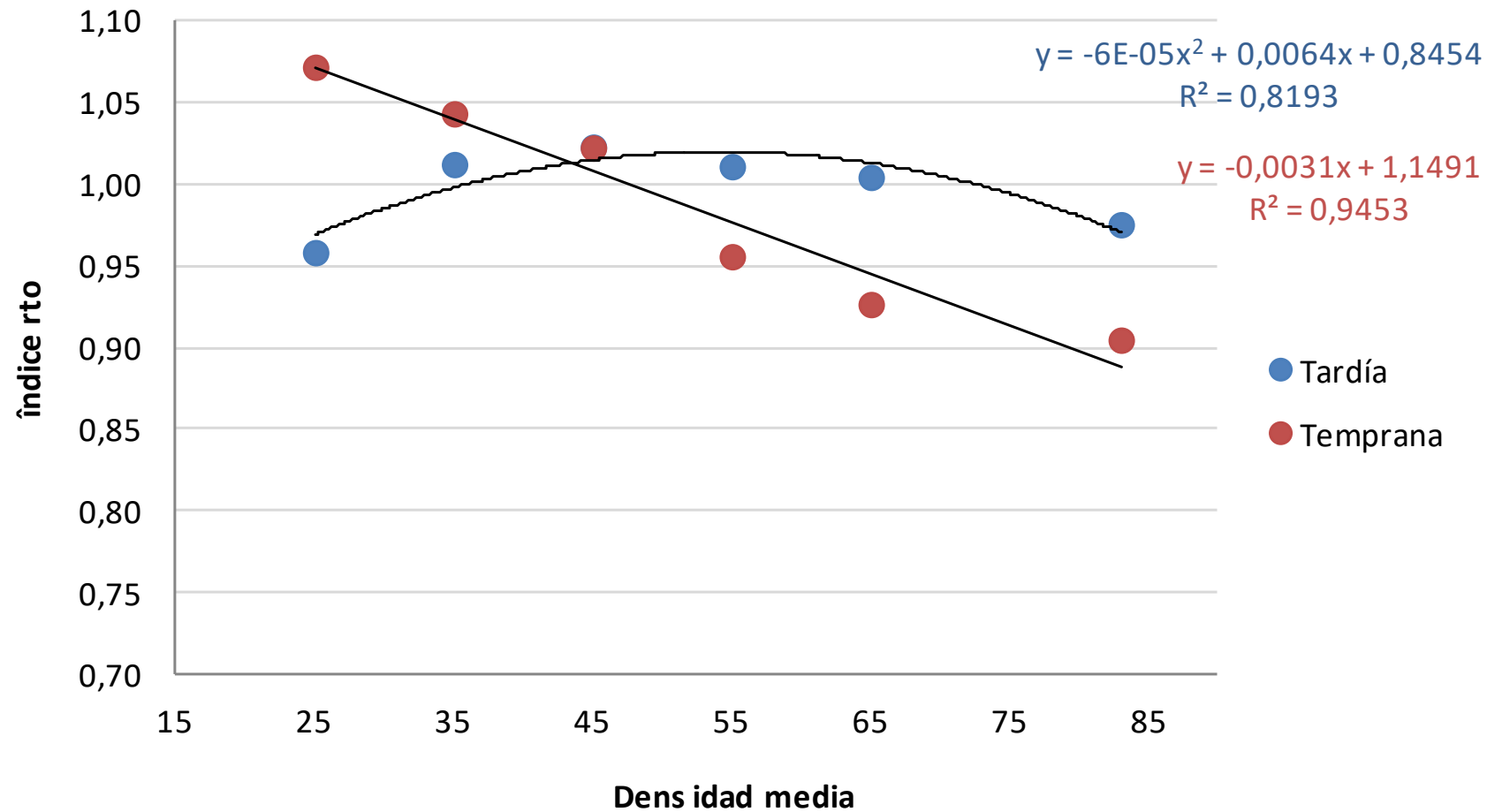


Respuesta a la densidad temprano vs. Tardío

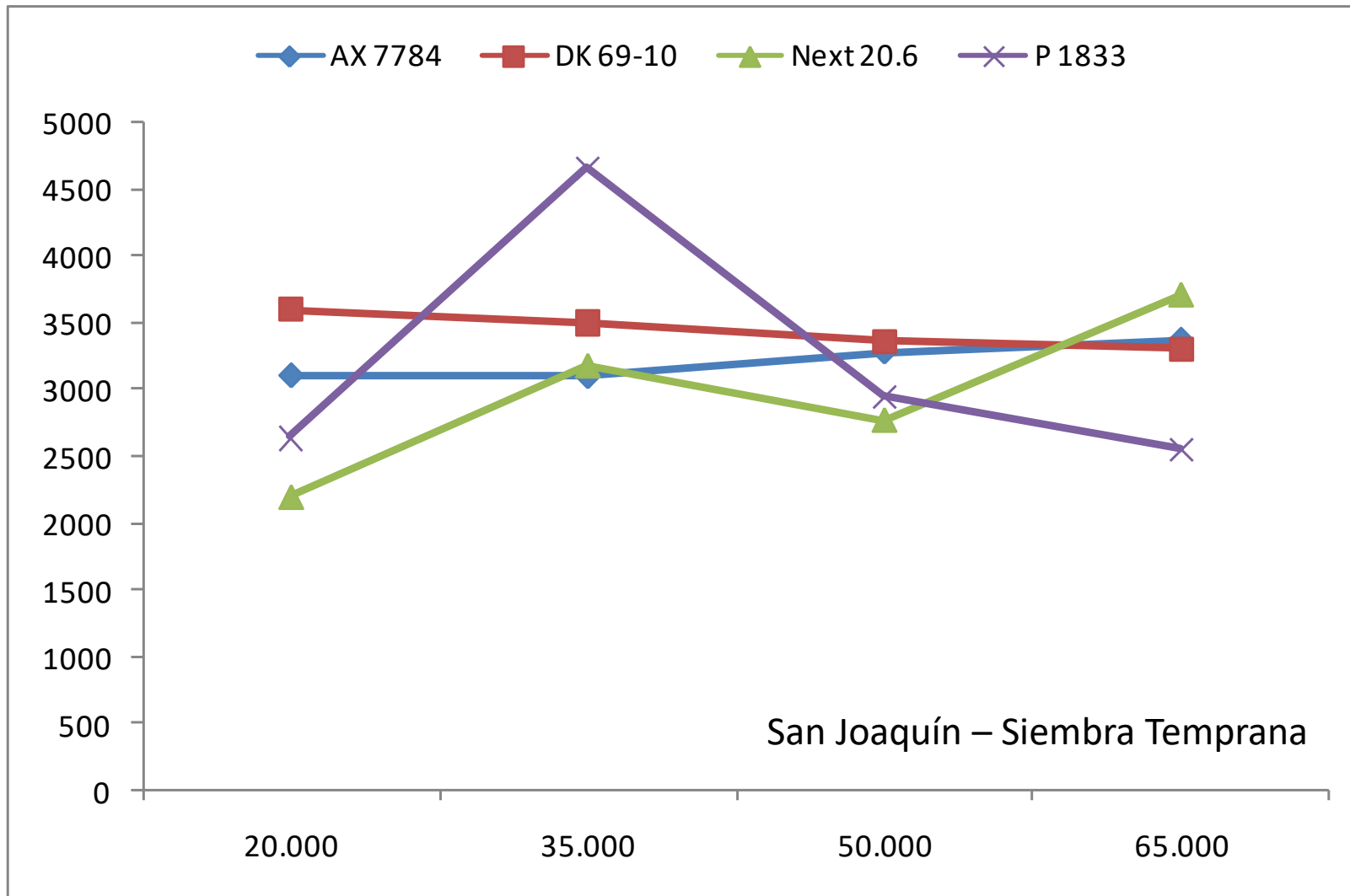


En temprana, menos es más

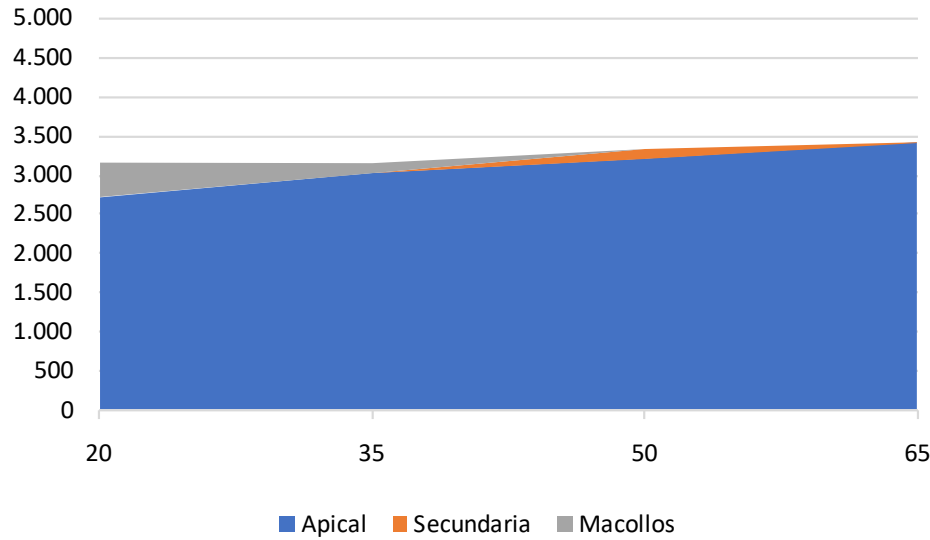
Fecha de siembra y densidad



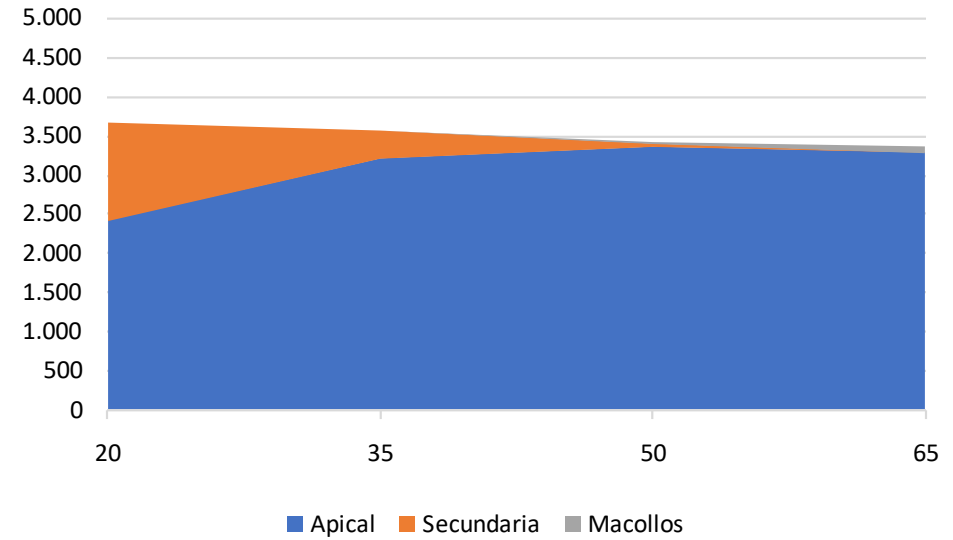
Híbridos x Densidad 2017-2018



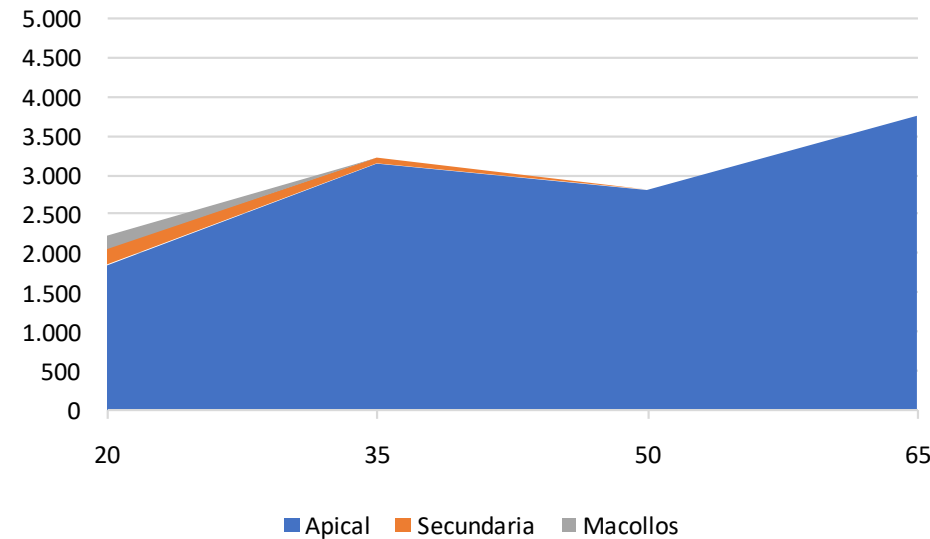
AX 7784 VT3P - San Joaquín (temprano)



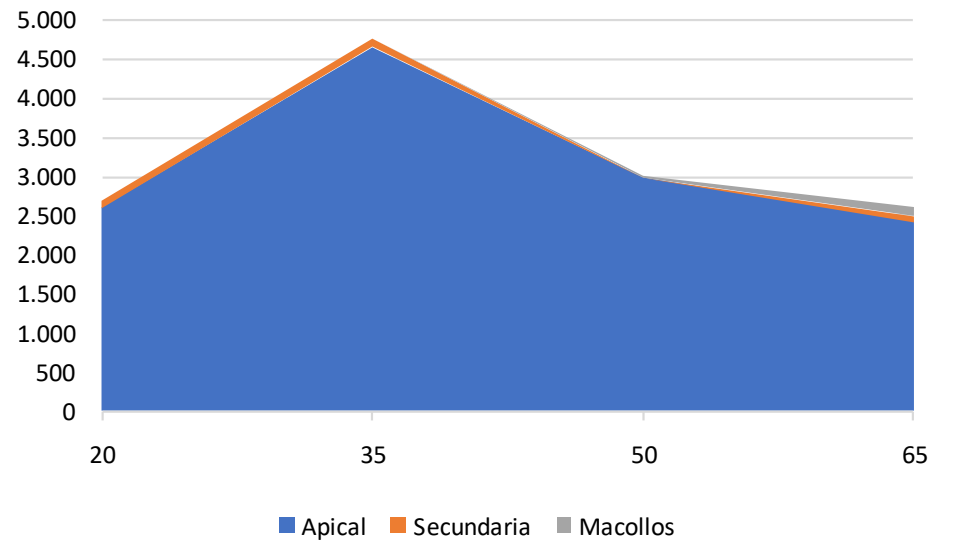
DK 69-10 VT3P - San Joaquín (temprano)



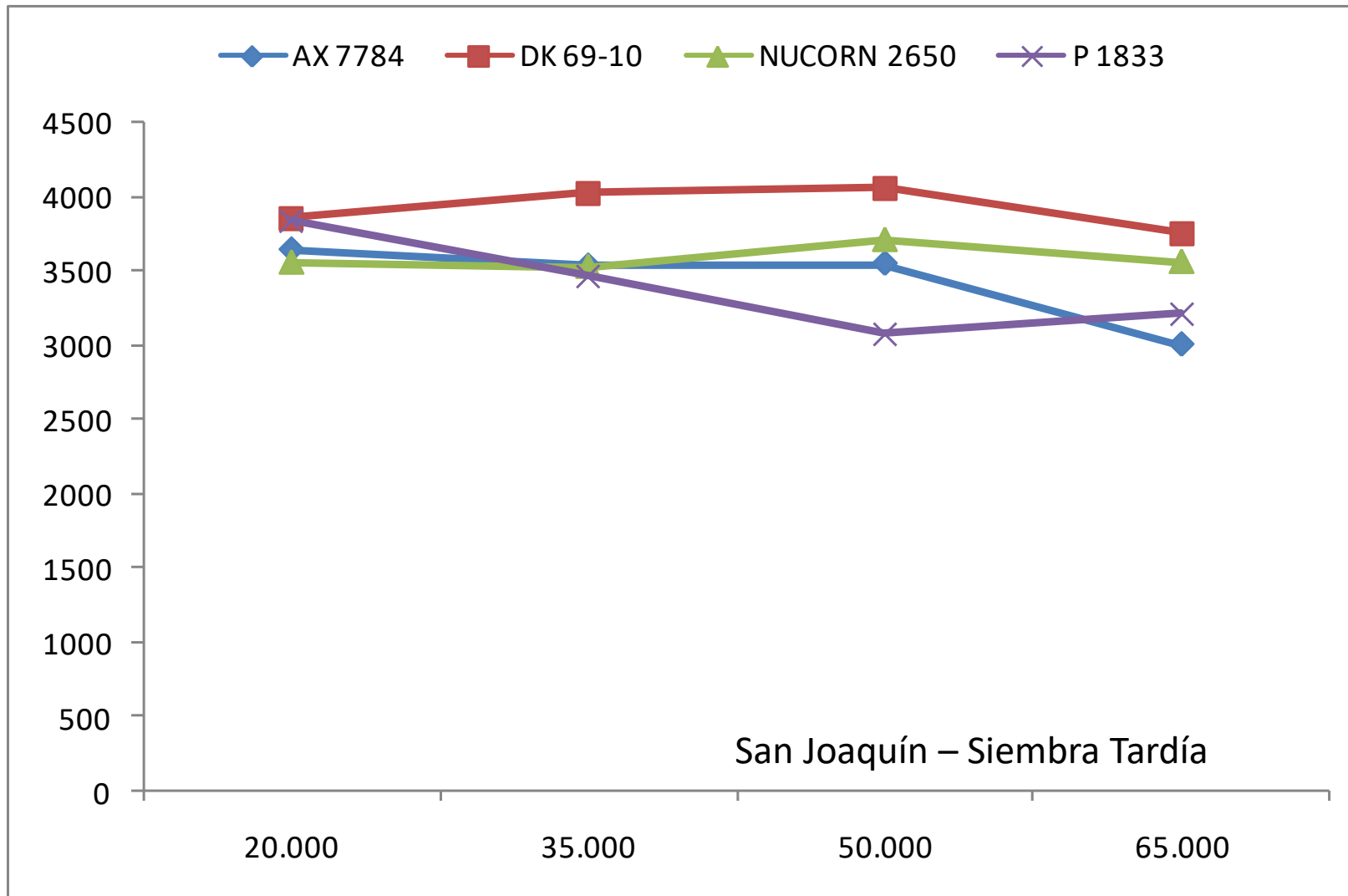
Next 20.6 PW - San Joaquín (temprano)



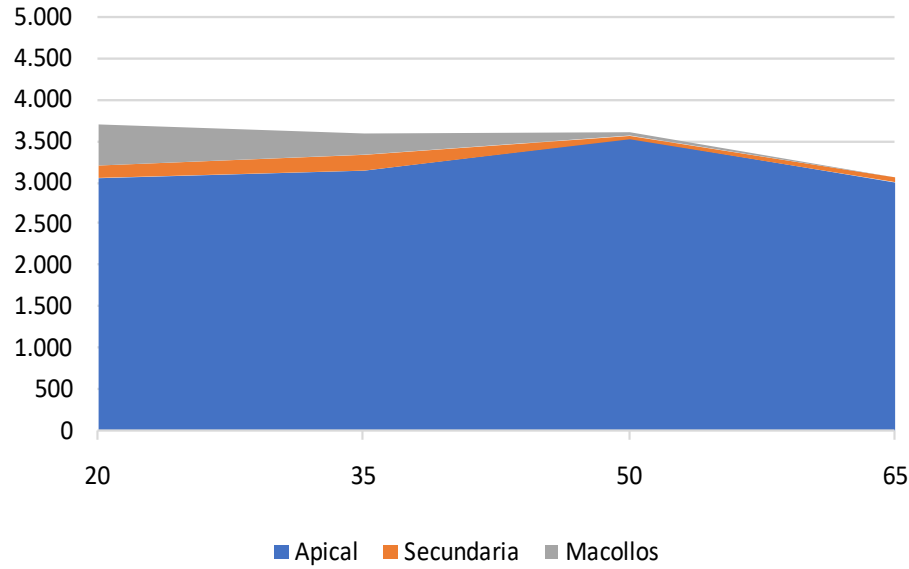
P 1833 VYHR - San Joaquín (temprano)



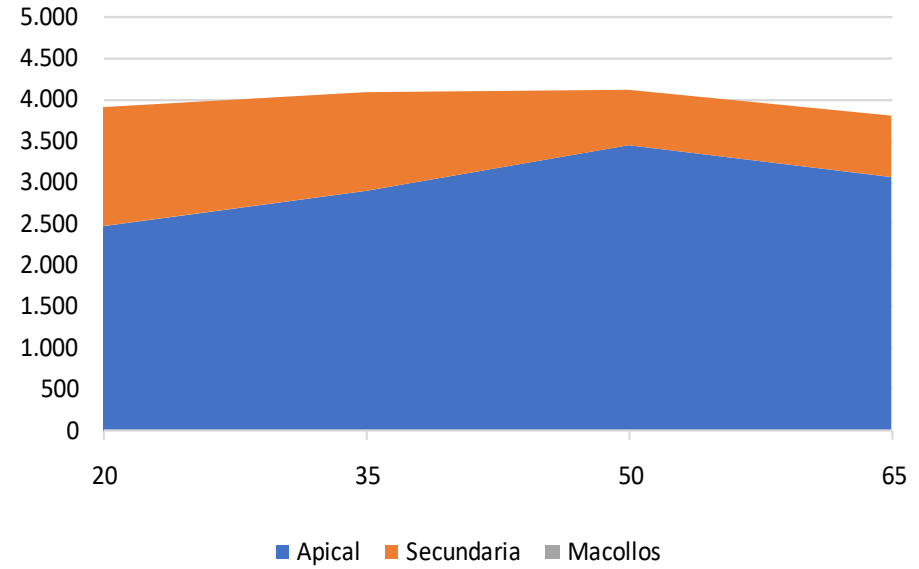
Híbridos x Densidad 2017-2018



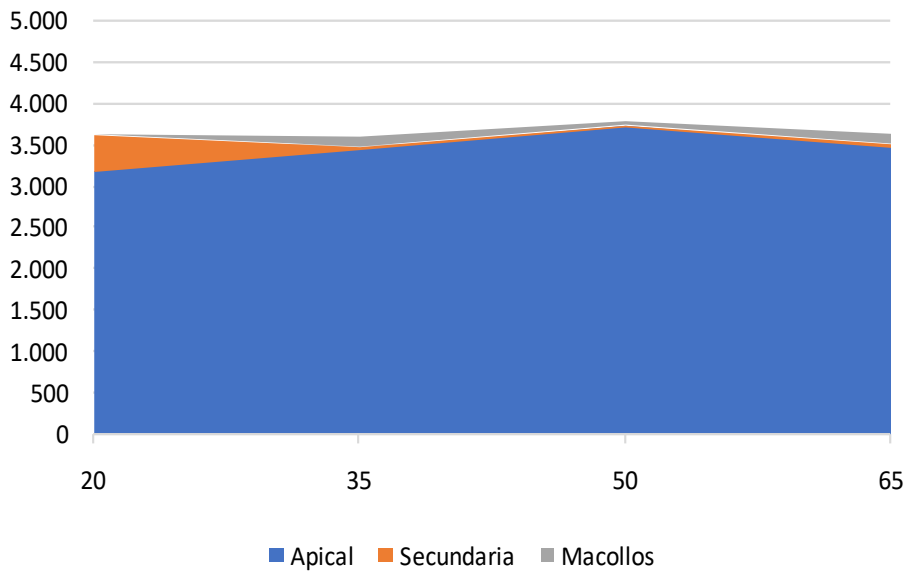
AX 7784 VT3P - San Joaquín (tardío)



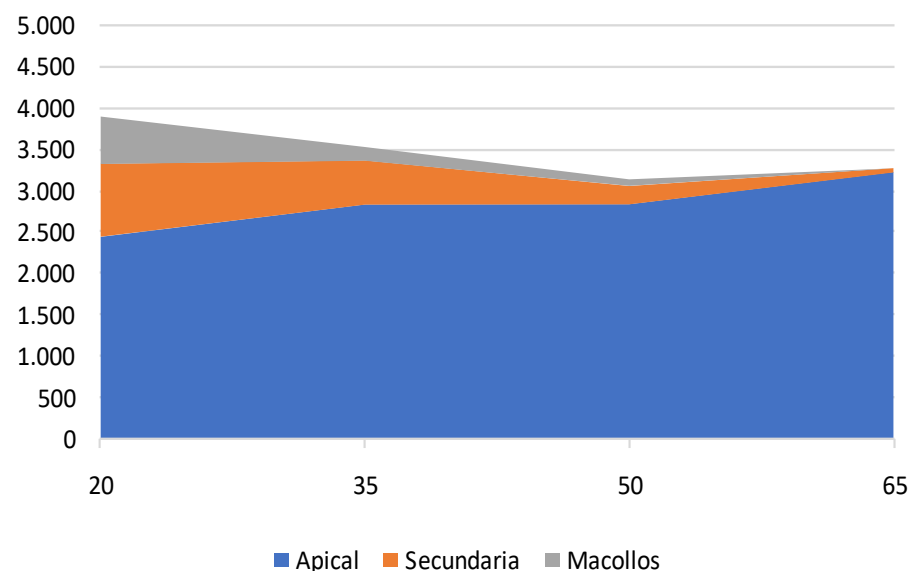
DK 69-10 VT3P - San Joaquín (tardío)



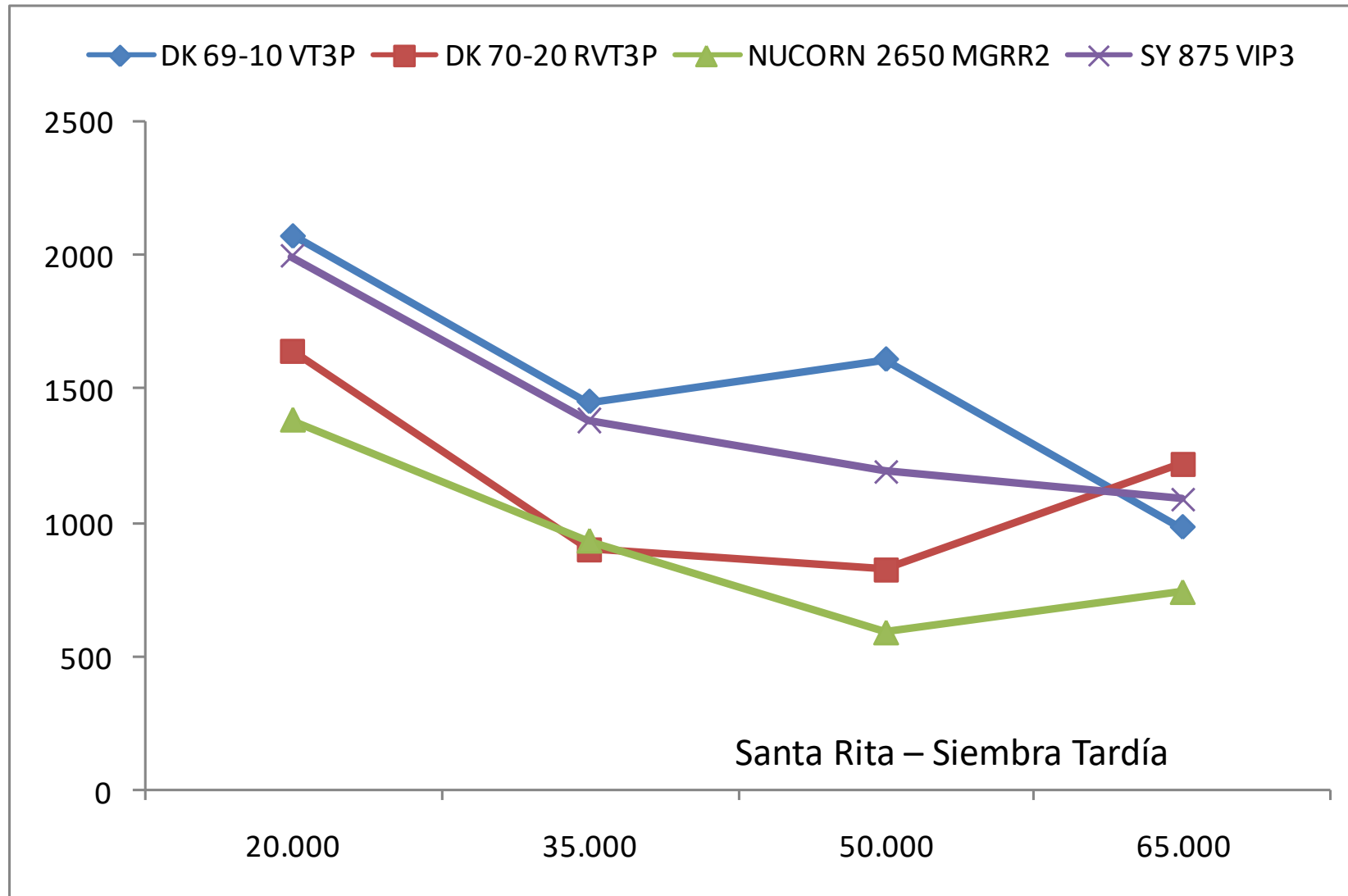
NUCORN 2650 MGRR2 - San Joaquín (tardío)



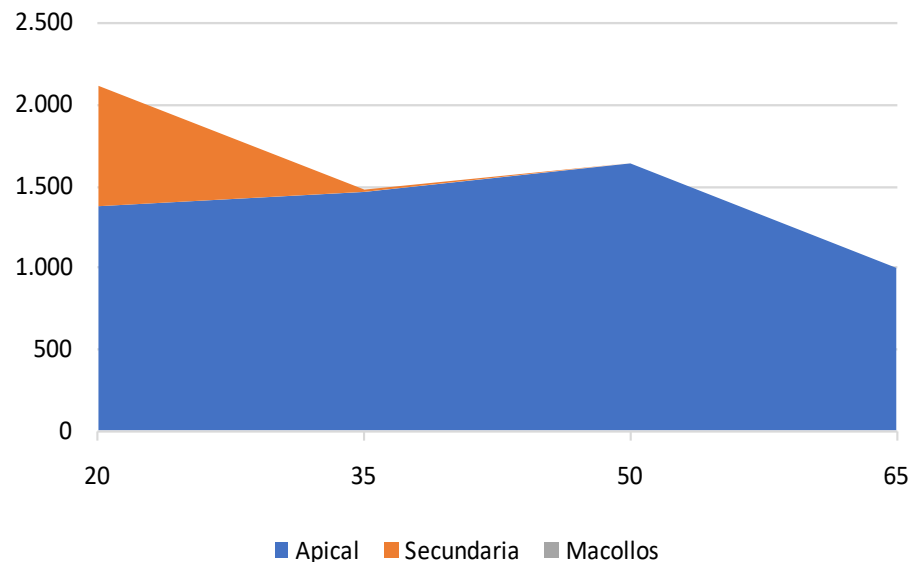
P 1833 VYHR - San Joaquín (tardío)



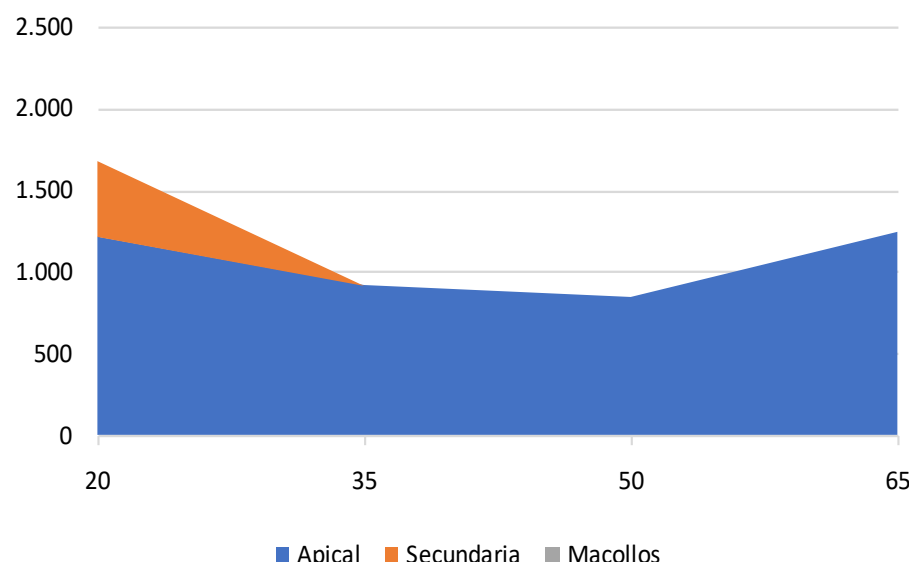
Híbridos x Densidad 2017-2018



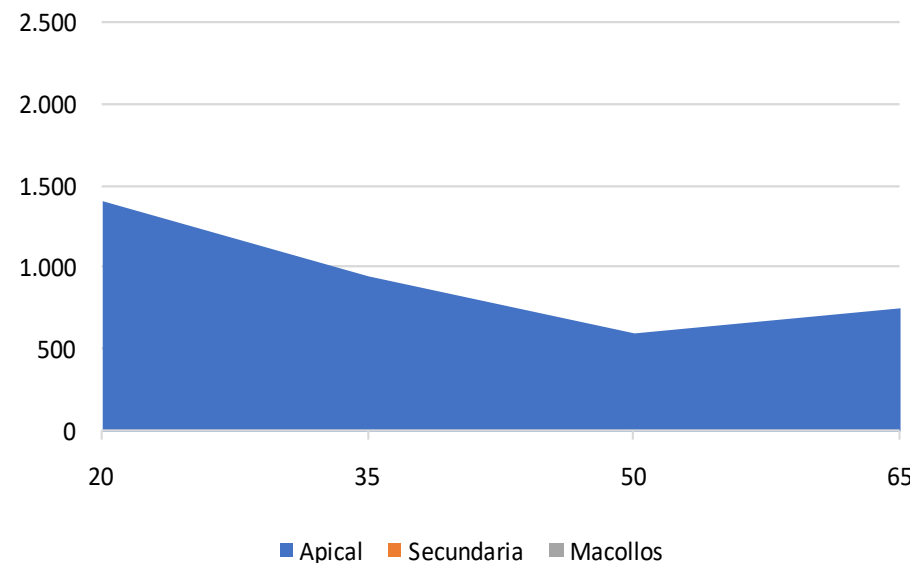
DK 69-10 VT3P - Santa Rita (tardío)



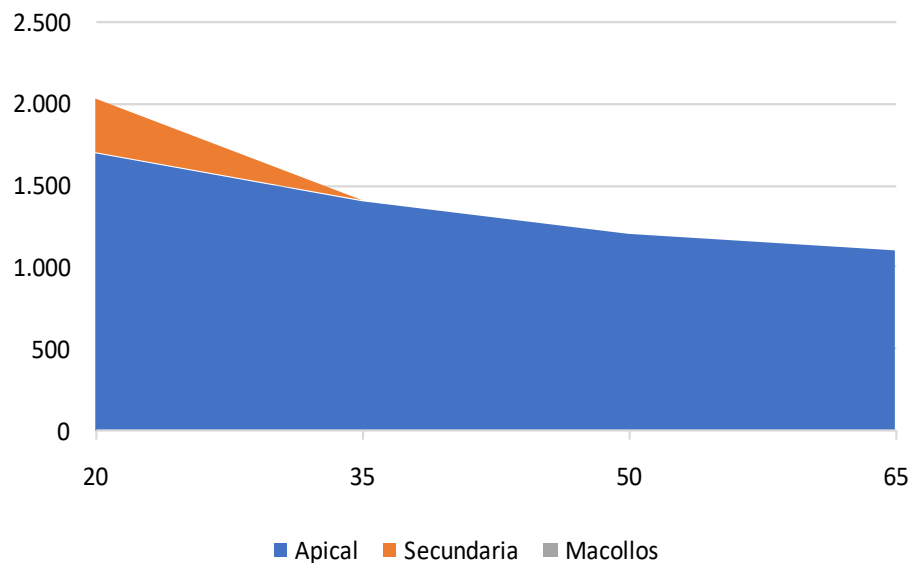
DK 70-20 RVT3P - Santa Rita (tardío)



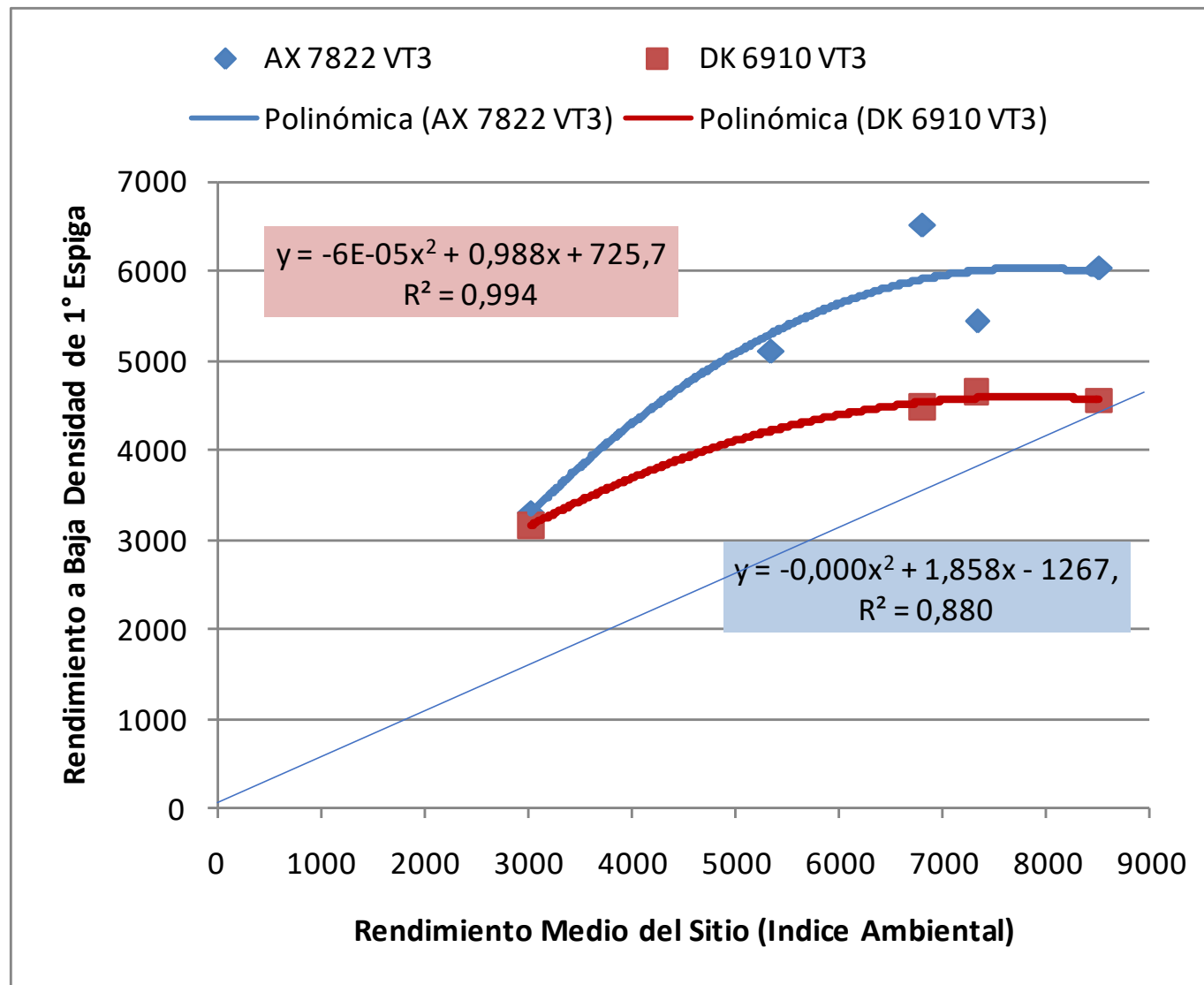
NUCORN 2650 MGRR2 - Santa Rita (tardío)



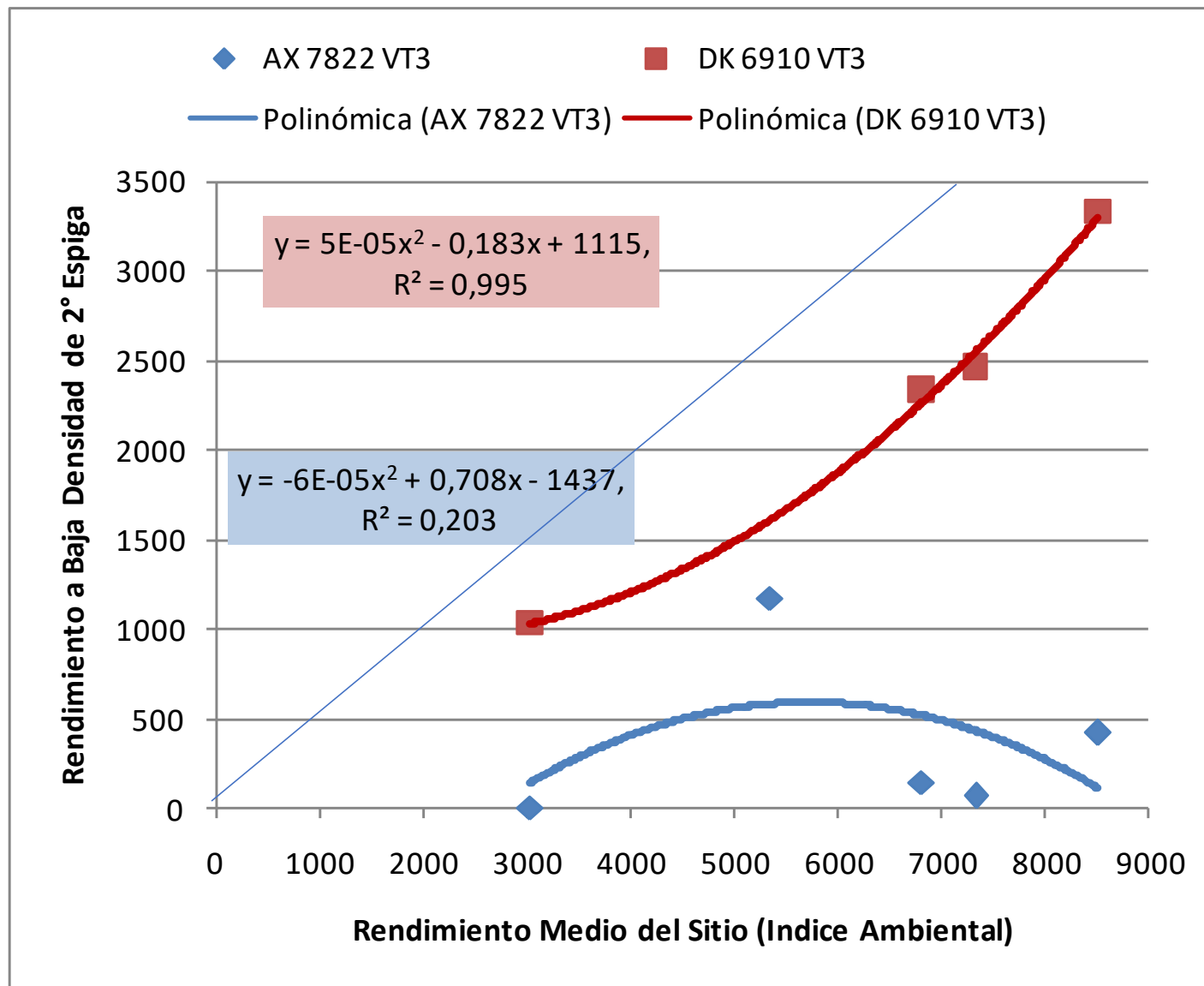
SY 875 VIP3 - Santa Rita (tardío)



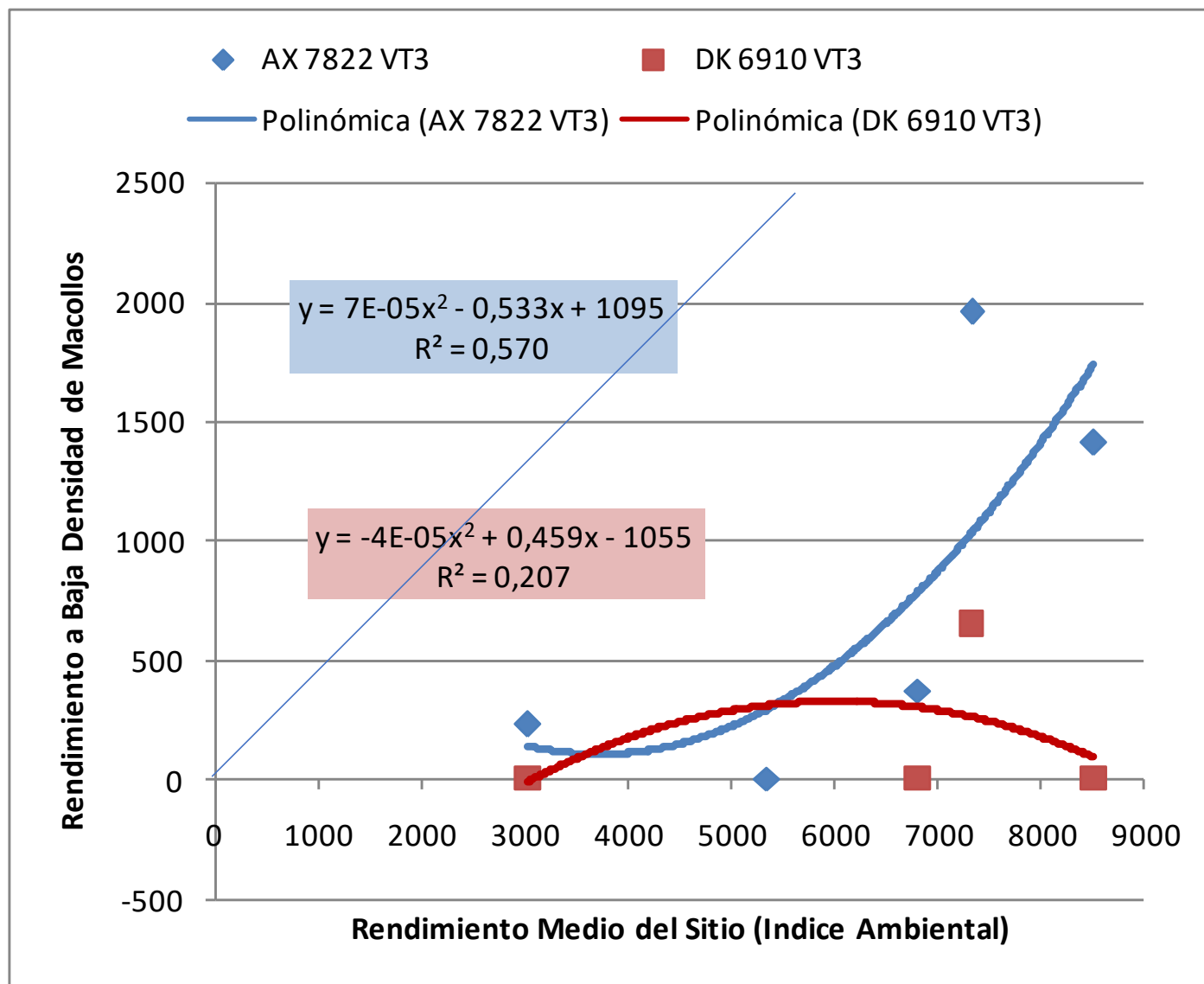
Componentes del rinde comparados



Componentes del rinde comparados



Componentes del rinde comparados



Rotili, D.H.^{1,2}; Giorno, A.³; Blanco, M.E.^{1,3}; Parco, M.^{1,2}; Maddonni, G.A.^{1,2}

RESULTADOS

Figura 2. Respuesta de la prolificidad (esp pl⁻¹) y del IA (kg ha⁻¹) a la DSO (pl m⁻²) para DM2738 y DK670.

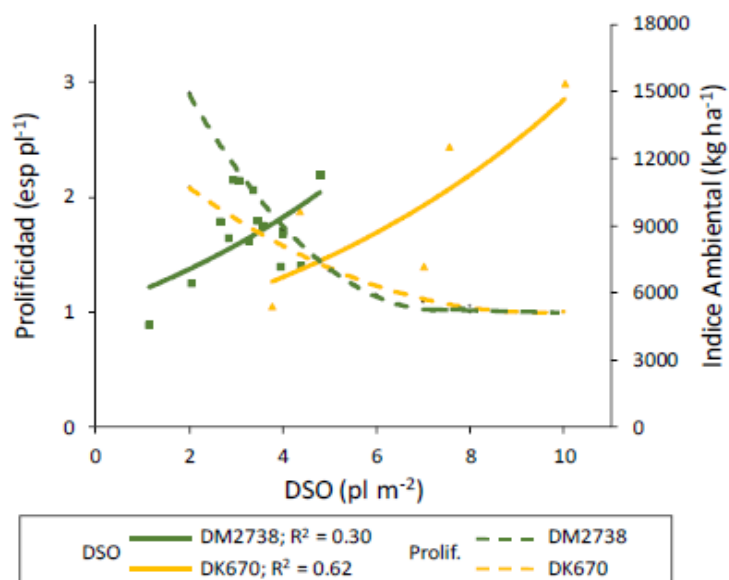
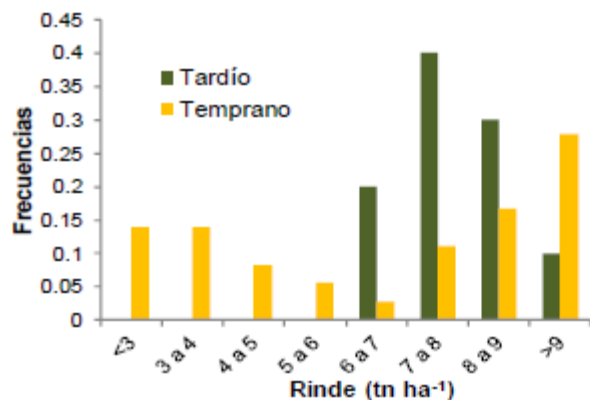


Tabla 1. Modelos de respuesta de la prolificidad (esp pl⁻¹) a la densidad (pl m⁻²) y del IA (kg ha⁻¹) a la DSO (pl m⁻²), con sus ajustes, para cada híbrido.

Híbrido	Prolificidad (esp pl ⁻¹)	R ²	IA (kg ha ⁻¹)	R ²	Rango IA explorado (kg ha ⁻¹)
DM2738	Prolificidad = 0.076 densidad ² - 1.044 densidad + 4.693	0.36	IA = 5310 e ^{0.142DSO}	0.30	4559-11260
DK670	Prolificidad = 0.021 densidad ² - 0.383 densidad + 2.768	0.35	IA = 3983 e ^{0.130DSO}	0.62	5375 a 15340
DK692	Prolificidad = 0.054 densidad ² - 0.737 densidad + 3.725	0.33	IA = 4712 e ^{0.134DSO}	0.20	4559 a 11260
DK747	Prolificidad = 0.019 densidad ² - 0.407 densidad + 2.903	0.86	IA = 5629 e ^{0.096DSO}	0.11	5375 a 12522
AX852	Prolificidad = 0.106 densidad ² - 1.137 densidad + 4.186	0.67	IA = 6361 e ^{0.030DSO}	0.16	4649 a 9207
AX882	Prolificidad = 0.093 densidad ² - 0.978 densidad + 3.639	0.51	IA = 7425 e ^{0.005DSO}	0.01	4649 a 12522
AX7822	Prolificidad = 0.145 densidad ² - 1.333 densidad + 4.070	0.91	IA = 5781 e ^{0.167DSO}	0.87	9150 a 11057
DOW505	Prolificidad = 0.070 densidad ² - 0.716 densidad + 2.499	0.52	IA = 4527 e ^{0.121DSO}	0.21	4559 a 11260
KM3800	Prolificidad = 0.062 densidad ² - 0.917 densidad + 4.154	0.54	IA = 3616 e ^{0.202DSO}	0.47	7192 a 10601
KM4321	Prolificidad = 0.074 densidad ² - 0.885 densidad + 3.506	0.75	IA = 6297 e ^{0.033DSO}	0.22	4649 a 9945
SRM563	Prolificidad = 0.469 densidad ² - 3.434 densidad + 8.248	0.27	IA = 7600 e ^{0.021DSO}	0.14	7192 a 8977

Figura 1. Frecuencias de rangos de R_{tard} y R_{temp} .



Mayor variabilidad de R_{temp} (distribución bimodal) que de R_{tard} (distribución normal).

Distribución de frecuencias de DSO_{tard} normal (media 3,5 $pl\ m^{-2}$).
 Distribución de frecuencias de DSO_{temp} asimétrica positiva con alta frecuencia de DSO_{temp} menores a 3 $pl\ m^{-2}$.

Figura 3. Frecuencias de rangos de DSO_{temp} y DSO_{tard} .

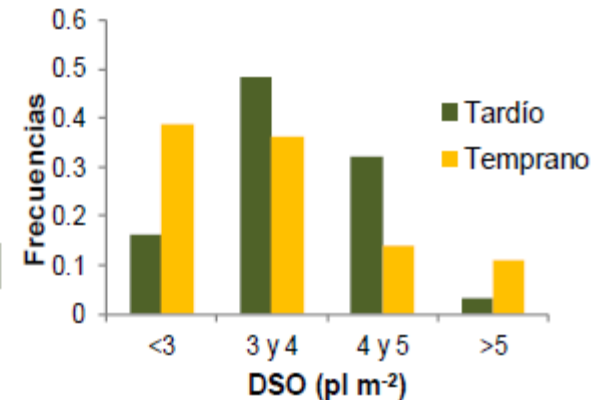
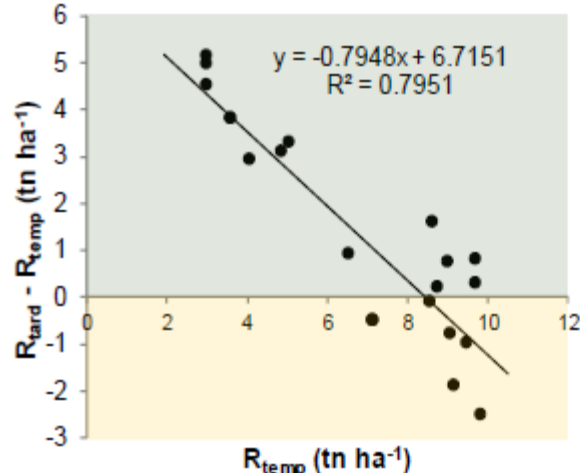


Figura 2. $R_{tard} - R_{temp}$ en función de R_{temp} .



R_{tard} mayores que R_{temp} en los sitios de $R_{temp} < 8500\ kg\ ha^{-1}$.

DSO_{tard} mayores que DSO_{temp} en los sitios de $DSO_{temp} < 3,6\ pl\ m^{-2}$.

Figura 4. $DSO_{tard} - DSO_{temp}$ en función de DSO_{temp} .

